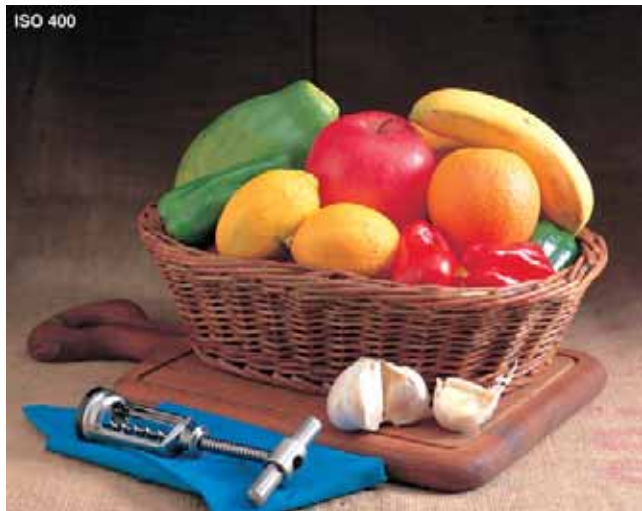
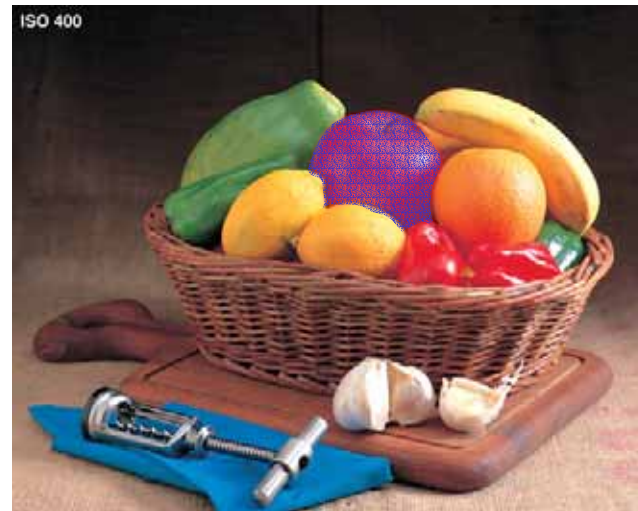


Figure 1



(a)

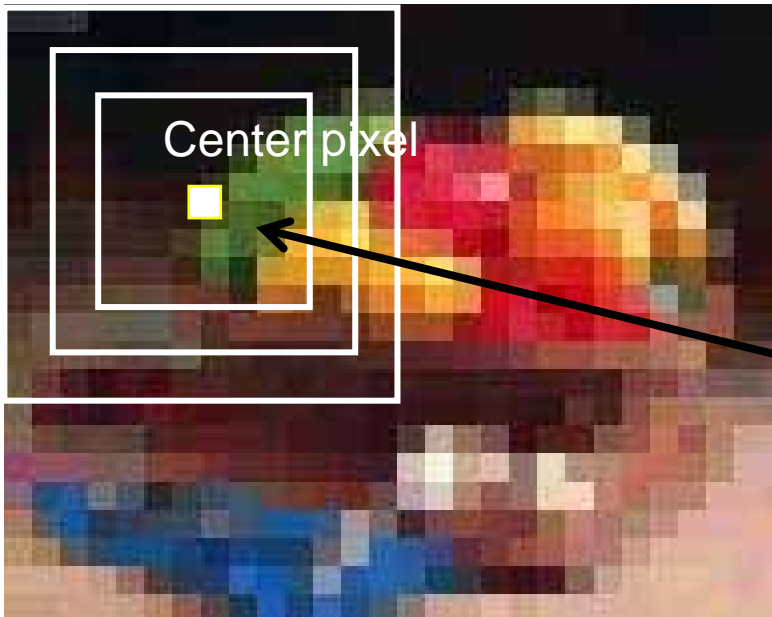


(b)

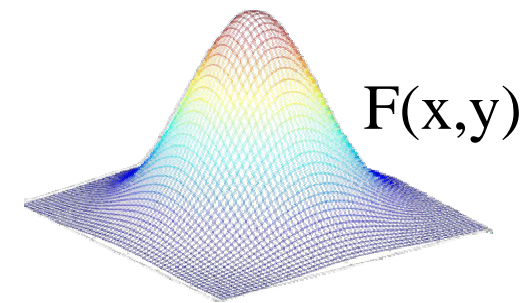


(c)

Figure 2



$$S_i(x, y) = \log\left(\frac{p_i(x, y)}{F(x, y) * p_i(x, y)}\right)$$



Gaussian filter

Figure 3

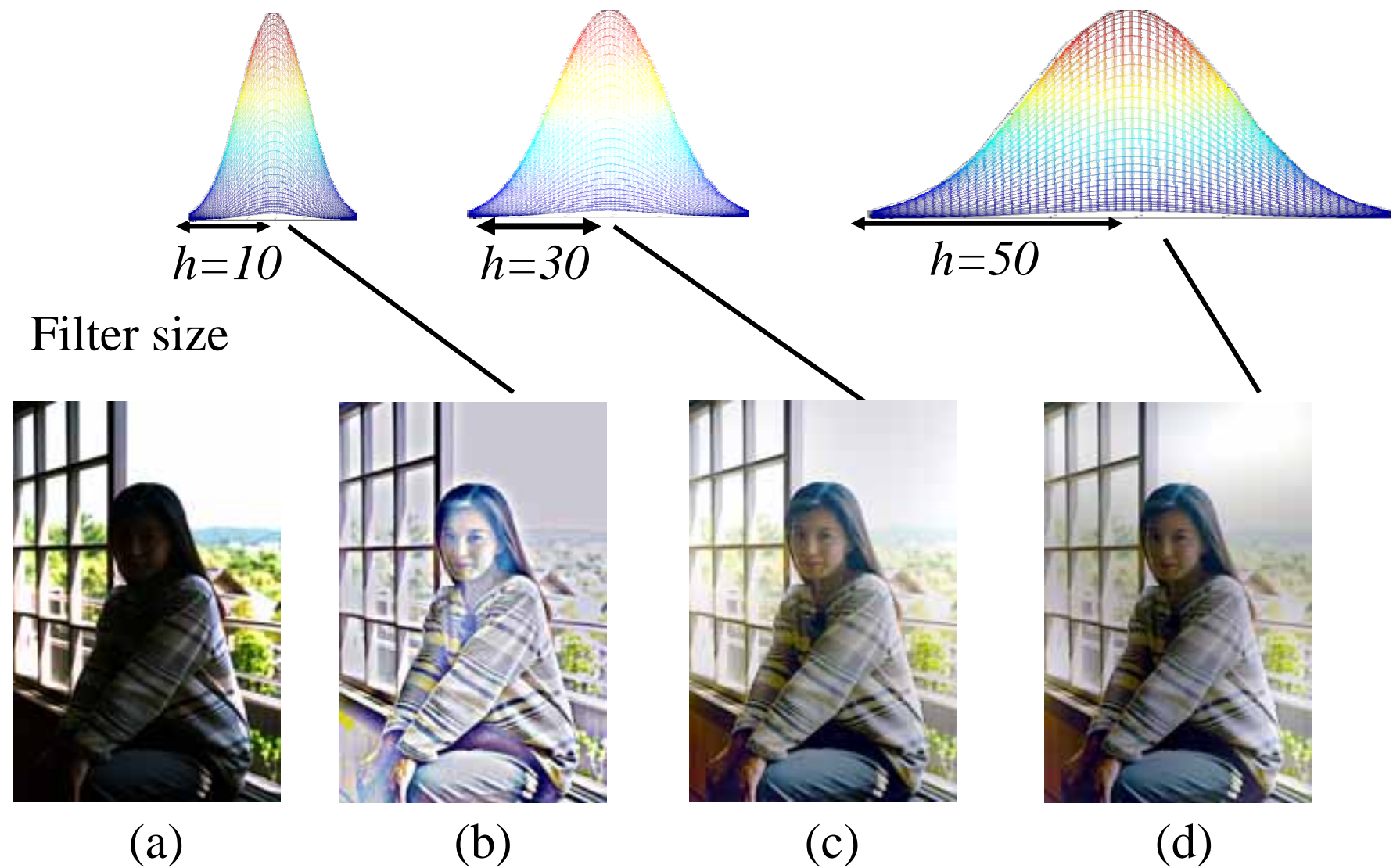


Figure 4



(a)

Figure 4



(b)

Figure 4



(c)

Figure 4



(d)

Figure 5

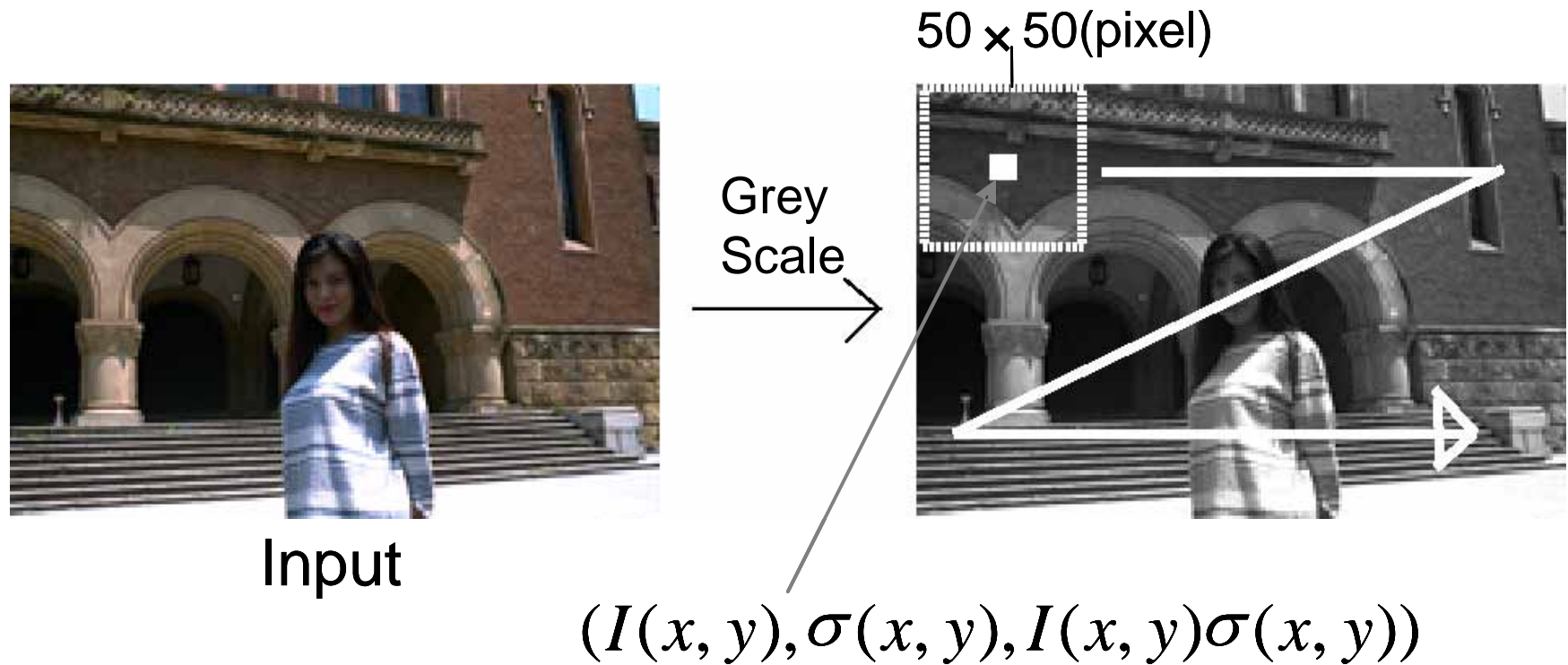


Figure 6

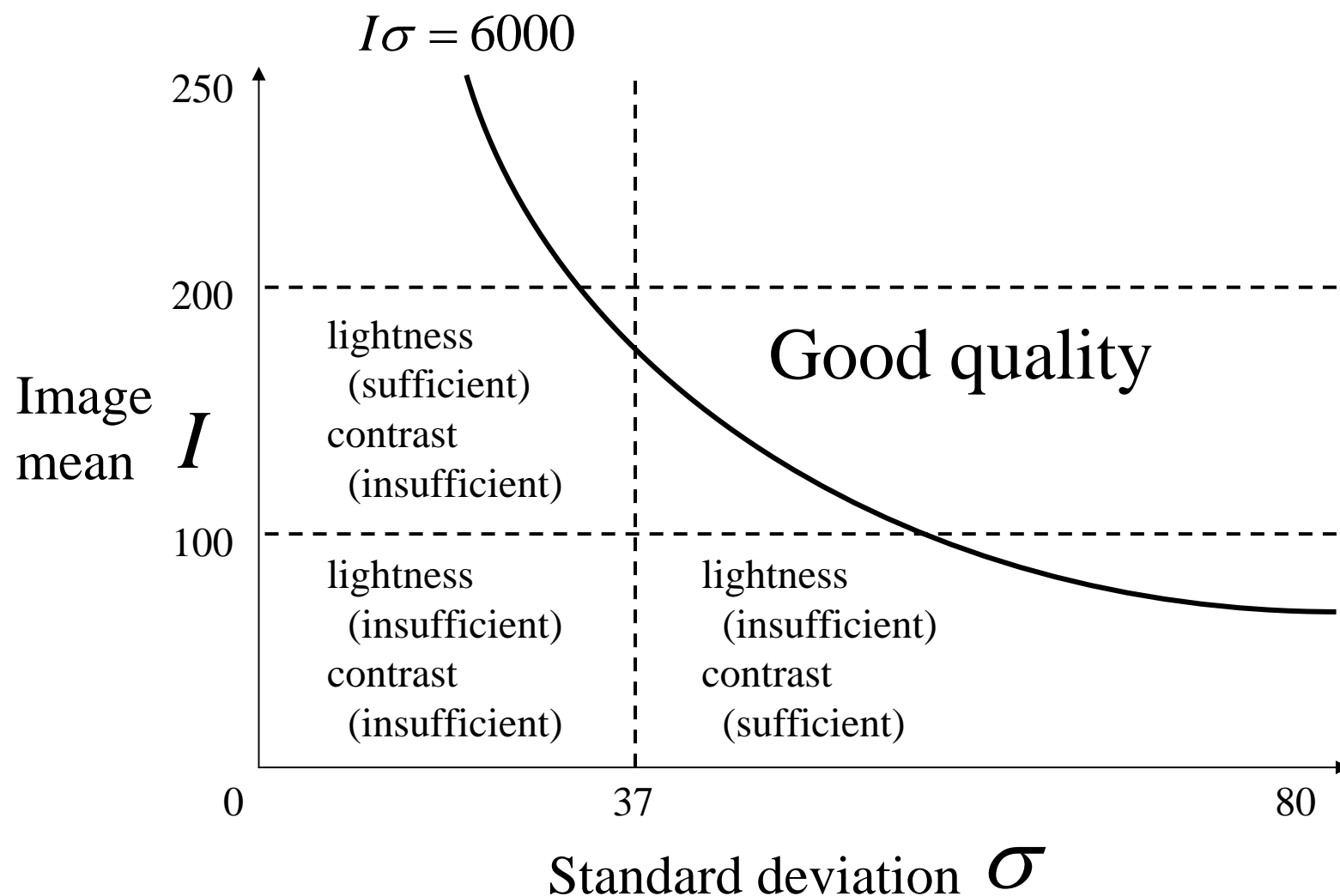


Figure 7



(a)

Figure 7



(b)

Figure 7



(c)

Figure 8



(a)

Figure 8



(b)

Figure 8



(c)

Table 1 適正露光画像の主観評価結果

画像番号	1	2	3	4	5	6	7	8	9	10	平均
入力画像	0.376	0.375	0.622	0.75	0	1	0.133	0	0.078	0.95	0.428
従来のMSR	0	0	0	0	0.473	0	0	0.829	0	0	0.130
提案手法	1	1	1	1	1	0.921	1	1	1	1	<u>0.992</u>

Table 2 色かぶりがある画像の主観評価結果

画像番号	1	2	3	4	5	6	7	8	9	10	平均
入力画像	0	0	0	0	0	0	0	0	0	0	0
従来のMSR	0.994	1	1	1	0.147	1	1	1	0.813	0.621	0.858
提案手法	1	0.653	0.758	0.948	1	0.7	0.864	0.894	1	1	0.882

Table 3 露光不足画像の主観評価結果

画像番号	1	2	3	4	5	6	7	8	9	10	平均
入力画像	0	0	0	0	0	0	0	0	0.983	1	0.198
従来のMSR	1	0.33	0.398	0.788	1	0.263	0.133	0.552	0	0	0.447
提案手法	0.948	1	0.66	<u>0.961</u>							

Table 4 逆光画像の主観評価結果

画像番号	1	2	3	4	5	6	7	8	9	10	平均
入力画像	0	0	0	0	0	0.067	0.24	0	0.442	0	0.075
従来のMSR	0.723	0.607	0.241	0.808	0.299	0	0	1	0	0.277	0.395
提案手法	1	0.866	1	1	<u>0.987</u>						